

تحلیل رمز چرخشی بر روی BMW, SIMD

سید علی طباطبائی فیض آباد^۱، احمد گائینی^{۲*}، بهید کشاورز^۳

۱ و ۲- کارشناسی ارشد، ۳- استادیار، دانشگاه جامع امام حسین (ع)

(دریافت: ۹۸/۰۲/۰۴؛ پذیرش: ۹۸/۰۴/۱۰)

چکیده

تابع چکیده ساز تابعی است یک طرفه که رشته صفر و یک ورودی با طول دلخواه را به یک رشته صفر و یک با طول ثابت n تبدیل می کند. تابع چکیده ساز باید سریع، ساده و یک طرفه باشد و در برابر حملات برخورد، پیش تصویر و پیش تصویر دوم مقاوم باشد. یکی از مهم ترین کاربردهای توابع چکیده ساز در امضای رقمی است، با استفاده از توابع چکیده ساز، امضا کننده به جای این که کل پیام را امضا کند، ابتدا مقدار چکیده پیام را به دست آورده و سپس این مقدار را امضا می کند. لذا این کار باعث افزایش امنیت و کاهش حجم محاسبات می شود. تجزیه و تحلیل رمز یا شکستن رمز، به کلیه اقدامات مبتنی بر اصول ریاضی و علمی اطلاق می گردد که هدف آن از بین بردن امنیت رمزنگاری و در نهایت بازکردن رمز و دستیابی به اطلاعات اصلی باشد. تحلیل رمز چرخشی یکی از بهترین و جدیدترین حملات بر علیه سیستم های ARX می باشد. در این مقاله برای اولین بار بر الگوریتم های BMW, SIMD که کاندیداهای دور دوم مسابقه SHA-3 هستند و در ساختار خود مطابق سیستم های ARX از سه عملگر چرخش، جمع پیمانه ای و یای انحصاری استفاده می کنند، با در نظر گرفتن فرض مارکوف تحلیل رمز چرخشی انجام می شود و به ترتیب پیچیدگی $2^{180,68}$ برای یک دور از ۱۶- دور BMW و پیچیدگی $2^{101,88}$ برای کل دورهای SIMD را داریم. با توجه به نتایج به دست آمده مشاهده می شود که به علت وجود تعداد بیشتری از جمع های پیمانه ای که به صورت زنجیره مارکوف هستند، الگوریتم BMW مقاومت بیشتری نسبت به الگوریتم SIMD در برابر تحلیل رمز چرخشی از خود نشان می دهد و احتمال موفقیت کمتری دارد.

واژگان کلیدی

توابع چکیده ساز، تحلیل رمز چرخشی، جمع پیمانه ای، فرض زنجیره مارکوف

۱- مقدمه

مانند MD5 و SHA-1، NIST در سال ۲۰۰۷ مسابقه ای را برای انتخاب یک تابع چکیده ساز امن به نام SHA-3 آغاز کرد، یک معیار مهم برای انتخاب تابع چکیده ساز SHA-3، مقاومت این تابع در برابر حملات شناخته شده روی توابع چکیده ساز و نیز حملات جدید بود [۲].

تجزیه و تحلیل رمز یا شکستن رمز، به کلیه اقدامات مبتنی بر اصول ریاضی و علمی اطلاق می گردد که هدف آن از بین بردن امنیت رمزنگاری و در نهایت بازکردن رمز و دستیابی به اطلاعات اصلی باشد. در تجزیه و تحلیل رمز، سعی می شود تا با بررسی جزئیات مربوط به الگوریتم رمز و یا پروتکل رمزنگاری مورد استفاده و به کار گرفتن هر گونه اطلاعات جانبی موجود، ضعف های امنیتی احتمالی موجود در سیستم رمزنگاری یافت شود و از این طریق به نحوی کلید رمز به دست آمده و یا محتوای اطلاعات رمز شده استخراج گردد. تجزیه و تحلیل رمز، گاهی به منظور

یکی از توابع پایه مورد استفاده در رمزنگاری تابع چکیده ساز^۱ است که به عنوان مثال دارای کاربرد در امر جامعیت اطلاعات و امضاء رقمی می باشد. تابع چکیده ساز تابعی است که یک پیام با طول تصادفی را به عنوان ورودی دریافت کند و یک نتیجه چکیده ساز با طول ثابت از آن تولید کند. در یک تابع چکیده ساز شرط لازم برای این که خروجی آن بتواند یک اثر منحصر به فرد از پیام را ارائه کند این است که پیدا کردن زوج های دارای تلاقی، پیام هایی که به یک خروجی یکسان نگاشت شوند، عملی نباشد [۱].

در پاسخ به حملات مهم روی توابع چکیده ساز استاندارد،

* رایانامه نویسنده پاسخگو: a.gaeini20@gmail.com

^۱ Hash function

چرخش دیگری به اندازه r -بیت می‌باشد. که عملگرهای چرخشی به وسیله $r \lll$ یا $r \ggg$ و یا به طور معادل \vec{x} و \vec{x} تعریف می‌شوند. که \vec{x} چرخش x به اندازه r -بیت به سمت راست را نشان می‌دهد که (x, \vec{x}) جفت چرخشی به اندازه r -بیت می‌نامیم. اثبات این که یک جفت چرخشی با هر تبدیل بیتی حفظ می‌شود آسان است مخصوصاً یای انحصاری^۶ و چرخش که در رابطه (۱) نشان داده است.

$$\overrightarrow{x \oplus y} = \vec{x} \oplus \vec{y} . \vec{x} \ggg r \cdot \overrightarrow{x} \ggg r \cdot \quad (1)$$

جمع پیمانهای را به مد 2^n در نظر می‌گیریم، احتمال این که جفت چرخشی از جمع پیمانهای^۷ بیرون آید توسط لم ۱ محاسبه می‌شود.

لم ۱: احتمال چرخشی با در نظر گرفتن مقدار چرخشی r از رابطه (۲) محاسبه می‌گردد.

$$P_r(x + y \lll r = x \lll r + y \lll r) = \frac{1}{4}(1 + 2^{r-n} + 2^{-r} + 2^{-n}). \quad (2)$$

برای n های بزرگ و r کوچک جدول (۱) را داریم:

جدول (۱): احتمالات چرخشی به ازای مقادیر چرخشی متفاوت

r	P_r	$\log_2 P_r$
۱	۰/۳۷۵	-۱/۴۱۵
۲	۰/۳۱۳	-۱/۶۷۶
۳	۰/۲۸۱	-۱/۸۳۱

برای $r = \frac{n}{2}$ احتمال نزدیک $\frac{1}{4}$ می‌باشد که این محاسبات برای چرخش به سمت راست نیز برقرار است. حال اگر یک طرح دلخواه \mathcal{K} با چرخش و جمع پیمانهای و xor بر n -بیت کلمه در نظر بگیریم قضیه زیر را تحت فرض استقلال داریم:

قضیه ۱: فرض کنید q تعداد عملگرهای جمع‌های پیمانهای در یک طرح ARX باشد، فرض کنید \vec{I} ورودی طرح \mathcal{K} که به اندازه r -بیت به سمت راست چرخش داده شده باشد، آن‌گاه

$$\overrightarrow{\mathcal{S}(\vec{I})} = \mathcal{S}(\vec{I}) \text{ با احتمال } P_r^q.$$

اثبات: به کمک استقرا بروی اندازه طرح [۴].

به منظور اعمال تحلیل چرخشی، سعی می‌کنیم تا ورودی‌های

شکستن امنیت یک سیستم رمزنگاری و به عنوان خرابکاری و یک فعالیت ضد امنیتی انجام می‌شود و گاهی هم به منظور ارزیابی یک پروتکل یا الگوریتم رمزنگاری و برای کشف ضعفها و آسیب پذیری‌های احتمالی آن صورت می‌پذیرد [۳].

تحلیل رمز چرخشی^۱ جزء حملات عمومی است که بر روی الگوریتم هایی که از سه عملگر چرخش و جمع پیمانهای و یای انحصاری در ساختارشان استفاده می‌کنند موثر است و اولین بار دیمتری خوروتویچ^۲ و ایویکا نیکولیچ^۳ آن را در سال ۲۰۱۰ ارائه دادند و در سال ۲۰۱۵ آن را بهبود بخشیدند بدین صورت که ابتدا بر این باور بودند که برای انجام یک تحلیل رمز مناسب و بدست آوردن احتمال مطلوب باید تنها عملگر جمع پیمانهای را شمرد و احتمال چرخشی را محاسبه نمود [۴] در صورتی که در سال ۲۰۱۵ تحلیل رمز خود را مورد بازبینی قرار دادند و یک شرط جدید به مسئله اضافه کردند و آن این بود که برای محاسبه احتمال چرخشی علاوه بر شمارش تعداد جمع‌های پیمانهای باید به محل قرار گرفتن آنها نیز توجه شود بدین صورت که اگر خروجی یک جمع پیمانهای به عنوان ورودی برای جمع پیمانهای بعدی باشد باید فرض زنجیره مارکوف^۴ برای جمع‌های پیمانهای در نظر گرفته شود و آنها با این توضیحات یک احتمال جدیدی برای محاسبه احتمال چرخشی ارائه دادند [۵].

در این مقاله برای اولین بار رویکرد مراجع [۴-۵] را برای محاسبه احتمال چرخشی دو الگوریتم^۵ SIMD, BMW که کاندیدای راه یافته به دور دوم مسابقه SHA-3 هستند و ساختار ARX دارند را به کار می‌بریم. در بخش دوم این مقاله حمله تحلیل رمز چرخشی را تشریح می‌کنیم و الزامات اجرای تحلیل رمز چرخشی را مورد بررسی قرار می‌دهیم و در بخش سوم به بررسی مختصری از الگوریتم‌های SIMD, BMW می‌پردازیم و در بخش چهارم تحلیل رمز چرخشی را بر الگوریتم‌های رمز اعمال کرده و در بخش آخر نتیجه بحث را ارائه می‌کنیم.

۲- تشریح تحلیل رمز چرخشی

در مرجع [۴] روش کلی برای تحلیل سیستم‌های ARX نشان داده شده است، ایده کلی فرض جفت کلمه‌ها است که یکی

¹ Rotational Cryptanalysis

² Dimitry Khovratovich

³ Ivica Nikolic

⁴ Markov chaining

⁵ Blue MidNight Wish

⁶ xor

⁷ Mudolar Addition

۳- معرفی الگوریتم‌های BMW, SIMD

در این بخش به معرفی کوتاهی از هر الگوریتم می‌پردازیم و با توجه به تحلیل رمز چرخشی، الگوریتم‌ها را برای یافتن تعداد جمع پیمانه‌ای به کار رفته شده در آنها و فرض زنجیره مارکوف در توابع فشرده ساز و ساختارشان بررسی می‌کنیم.

۳-۱- الگوریتم BMW-512

در اینجا الگوریتم BMW-512 را باختصار برای یافتن تعداد جمع‌های پیمانه‌ای و طریقه اتصال آنها مورد بررسی قرار می‌دهیم، برای تشریح الگوریتم، با توجه به شکل (۱) مشاهده می‌کنیم که بعد از مراحل لایه گذاری^۱ و مقداردهی اولیه $H^{(0)}$ ، مقدار چکیده^۲ از کد زیر محاسبه می‌شود.

$$\text{For } i = 1 \text{ to } N \left\{ \begin{array}{l} Q_a^{(i)} = f_0(M^{(i)}, H^{(i-1)}); \\ Q_b^{(i)} = f_1(M^{(i)}, H^{(i-1)}, Q_a^{(i)}); \\ H^{(i)} = f_2(M^{(i)}, Q_a^{(i)}, Q_b^{(i)}); \end{array} \right\}$$

شکل (۱): محاسبه مقدار چکیده که در آن $N=16$ تعداد بلوک‌های

پیام که از مرحله لایه گذاری به دست می‌آید [۶]

با توجه به شکل (۳) در انتها یک دور پایانی نیز داریم که مقدار چکیده نهایی^۳ را محاسبه می‌کند که کد آن مطابق شکل (۲) است.

$$\boxed{\begin{array}{l} Q_a^{final} = f_0(H^{(N)}, CONST^{final}); \\ Q_b^{final} = f_1(H^{(N)}, CONST^{final}, Q_a^{final}); \\ H^{final} = f_2(H^{(N)}, Q_a^{final}, Q_b^{final}); \end{array}}$$

شکل (۱): محاسبه مقدار چکیده پایانی الگوریتم BMW-512 [۶]

همان‌طور که در شکل (۳) می‌بینیم الگوریتم دارای سه تابع f_0 ، f_1 ، f_2 و با توجه به شکل (۲) برای محاسبه دور پایانی نیز سه تابع f_0 ، f_1 ، f_2 را داریم. باتوجه به شکل (۴) تابع f_0 -۱۶ جمع پیمانه‌ای به صورت فرض زنجیره مارکوف دارد و -۶۴ جمع پیمانه‌ای دارد، همچنین با توجه به شکل (۵) تابع f_1 هیچ جمع پیمانه‌ای ندارد و با توجه به شکل (۶) تابع f_2 ، -۲۴ جمع پیمانه‌ای دارد. همچنین الگوریتم BMW-512، -۱۶ دور اصلی و یک دور پایانی دارد.

طرح ARX تشکیل جفت چرخشی دهند. برای یک تابع تصادفی P که به Z_2^t نگاشت می‌شود، احتمال این‌که $P(\vec{I}) = \overline{P(I)}$ باشد برای I تصادفی 2^{-t} است. بنابراین، می‌توانیم یک تابع غیرتصادفی بیابیم اگر تابع بتواند با q جمع پیمانه‌ای اجرا شود و $P_r^q > 2^{-t}$.

مرجع [۵] نشان می‌دهد که احتمالات چرخشی ARX، تنها به تعداد جمع‌های پیمانه‌ای بستگی ندارد بلکه به طریقه اتصال آنها بستگی دارد. احتمال چرخشی نمی‌تواند با ضرب احتمال تک تک جمع‌ها به دست آید. این بدین معنی است که فرض رمز مارکوف استفاده شده برای محاسبه ضمنی احتمال از این طریق امکان‌پذیر نیست.

دنباله‌ای از متغییرهای تصادفی گسسته v_0, \dots, v_r یک دنباله مارکوف است اگر برای $0 < i < r$ رابطه (۳) برقرار باشد:

$$\begin{array}{l} p_r(v_{i+1} = \beta_{i+1} | v_i = \beta_i \cdot v_{i-1} = \beta_{i-1} \cdot \dots \cdot v_0 = \beta_0) \\ p_r(v_{i+1} = \beta_{i+1} | v_i = \beta_i) \end{array} \quad (3)$$

احتمال چرخشی ARX به سادگی با شمارش تعداد جمع محاسبه نمی‌شود و باید روابط موقعیت جمع‌های پیمانه‌ای را بررسی کنیم، یعنی این که آیا جمع‌های پیمانه‌ای به صورت متوالی در الگوریتم آمده‌اند یا جدا جدا و در بین عملگرهای دیگر آمده‌اند. درحقیقت زنجیره بزرگتر برای جمع‌های پیمانه‌ای احتمال چرخشی کمتری دارد. احتمال چرخشی جمع‌های پیمانه‌ای زنجیره‌ای در لم ۲ آمده است:

لم ۲: فرض کنید a_1, \dots, a_k کلمه‌های n -بیتی باشند که به صورت تصادفی انتخاب شده باشند و r یک عدد صحیح مثبت که $0 < r < n$ آن‌گاه احتمال چرخشی از رابطه (۳) به دست می‌آید.

$$\begin{aligned} P_r([(a_1 + a_2) \lll r = a_1 \lll r + a_2 \\ \lll r] \wedge [(a_1 + a_2 + a_3) \lll r \\ = a_1 \lll r + a_2 \lll r + a_3 \\ \lll r] \wedge \dots \\ \wedge [(a_1 + \dots + a_k) \lll r = a_1 \\ \lll r + \dots + a_k \lll r]) = \end{aligned}$$

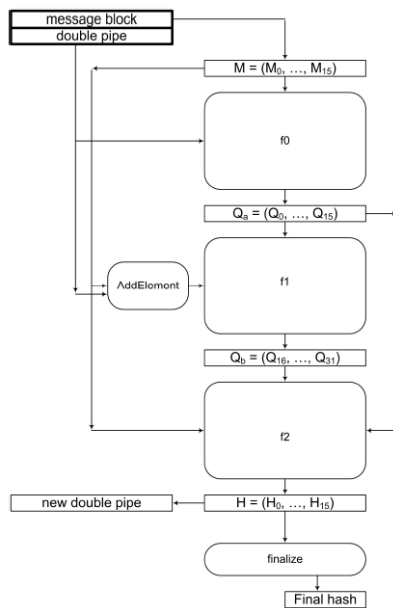
$$\frac{1}{2^{nk}} \binom{k + 2^r - 1}{2^r - 1} \binom{k + 2^{n-r} - 1}{2^{n-r} - 1} \quad (4)$$

به طور خلاصه، احتمال چرخشی رمزنگاری لزوماً برابر با حاصلضرب تک تک احتمالات چرخشی نیست. چنین میانبری در تخمین احتمال نه کران بالا نه کران پایین از احتمال واقعی را می‌دهد. بعد از تایید زنجیره مارکوف می‌توان احتمال را تخمین زد. در غیر این صورت، احتمال چرخشی باید اقتضایی محاسبه گردد.

¹ Padding

² Hash Value

³ Final



شکل (۲۰): الگوریتم تابع فشرده‌ساز Blue MidNight Wish [۶].

$f_0 : \{0, 1\}^{2m} \rightarrow \{0, 1\}^m$			
Input: Message block $M^{(i)} = (M_0^{(i)}, M_1^{(i)}, \dots, M_{15}^{(i)})$, and the previous double pipe $H^{(i-1)} = (H_0^{(i-1)}, H_1^{(i-1)}, \dots, H_{15}^{(i-1)})$.			
Output: First part of the quadruple pipe $Q_0^{(i)} = (Q_0^{(i)}, Q_1^{(i)}, \dots, Q_{15}^{(i)})$.			
1. Bijective transform of $M^{(i)} \oplus H^{(i-1)}$:			
$W_0^{(i)} = (M_5^{(i)} \oplus H_5^{(i-1)}) - (M_7^{(i)} \oplus H_7^{(i-1)}) + (M_9^{(i)} \oplus H_9^{(i-1)}) + (M_{13}^{(i)} \oplus H_{13}^{(i-1)}) + (M_{14}^{(i)} \oplus H_{14}^{(i-1)})$	$W_1^{(i)} = (M_6^{(i)} \oplus H_6^{(i-1)}) - (M_8^{(i)} \oplus H_8^{(i-1)}) + (M_{11}^{(i)} \oplus H_{11}^{(i-1)}) + (M_{14}^{(i)} \oplus H_{14}^{(i-1)}) - (M_{15}^{(i)} \oplus H_{15}^{(i-1)})$		
$W_2^{(i)} = (M_0^{(i)} \oplus H_0^{(i-1)}) + (M_7^{(i)} \oplus H_7^{(i-1)}) + (M_9^{(i)} \oplus H_9^{(i-1)}) - (M_{12}^{(i)} \oplus H_{12}^{(i-1)}) + (M_{15}^{(i)} \oplus H_{15}^{(i-1)})$	$W_3^{(i)} = (M_0^{(i)} \oplus H_0^{(i-1)}) - (M_1^{(i)} \oplus H_1^{(i-1)}) + (M_8^{(i)} \oplus H_8^{(i-1)}) - (M_{10}^{(i)} \oplus H_{10}^{(i-1)}) + (M_{13}^{(i)} \oplus H_{13}^{(i-1)})$		
$W_4^{(i)} = (M_1^{(i)} \oplus H_1^{(i-1)}) + (M_2^{(i)} \oplus H_2^{(i-1)}) + (M_9^{(i)} \oplus H_9^{(i-1)}) - (M_{11}^{(i)} \oplus H_{11}^{(i-1)}) - (M_{14}^{(i)} \oplus H_{14}^{(i-1)})$	$W_5^{(i)} = (M_3^{(i)} \oplus H_3^{(i-1)}) - (M_2^{(i)} \oplus H_2^{(i-1)}) + (M_{10}^{(i)} \oplus H_{10}^{(i-1)}) - (M_{12}^{(i)} \oplus H_{12}^{(i-1)}) + (M_{15}^{(i)} \oplus H_{15}^{(i-1)})$		
$W_6^{(i)} = (M_4^{(i)} \oplus H_4^{(i-1)}) - (M_0^{(i)} \oplus H_0^{(i-1)}) - (M_3^{(i)} \oplus H_3^{(i-1)}) - (M_{11}^{(i)} \oplus H_{11}^{(i-1)}) + (M_{13}^{(i)} \oplus H_{13}^{(i-1)})$	$W_7^{(i)} = (M_1^{(i)} \oplus H_1^{(i-1)}) - (M_4^{(i)} \oplus H_4^{(i-1)}) - (M_5^{(i)} \oplus H_5^{(i-1)}) - (M_{12}^{(i)} \oplus H_{12}^{(i-1)}) - (M_{14}^{(i)} \oplus H_{14}^{(i-1)})$		
$W_8^{(i)} = (M_2^{(i)} \oplus H_2^{(i-1)}) - (M_5^{(i)} \oplus H_5^{(i-1)}) - (M_6^{(i)} \oplus H_6^{(i-1)}) + (M_{13}^{(i)} \oplus H_{13}^{(i-1)}) - (M_{15}^{(i)} \oplus H_{15}^{(i-1)})$	$W_9^{(i)} = (M_0^{(i)} \oplus H_0^{(i-1)}) - (M_3^{(i)} \oplus H_3^{(i-1)}) + (M_6^{(i)} \oplus H_6^{(i-1)}) - (M_7^{(i)} \oplus H_7^{(i-1)}) + (M_{14}^{(i)} \oplus H_{14}^{(i-1)})$		
$W_{10}^{(i)} = (M_8^{(i)} \oplus H_8^{(i-1)}) - (M_1^{(i)} \oplus H_1^{(i-1)}) - (M_4^{(i)} \oplus H_4^{(i-1)}) - (M_7^{(i)} \oplus H_7^{(i-1)}) + (M_{15}^{(i)} \oplus H_{15}^{(i-1)})$	$W_{11}^{(i)} = (M_8^{(i)} \oplus H_8^{(i-1)}) - (M_0^{(i)} \oplus H_0^{(i-1)}) - (M_2^{(i)} \oplus H_2^{(i-1)}) - (M_5^{(i)} \oplus H_5^{(i-1)}) + (M_9^{(i)} \oplus H_9^{(i-1)})$		
$W_{12}^{(i)} = (M_1^{(i)} \oplus H_1^{(i-1)}) + (M_3^{(i)} \oplus H_3^{(i-1)}) - (M_6^{(i)} \oplus H_6^{(i-1)}) - (M_9^{(i)} \oplus H_9^{(i-1)}) + (M_{10}^{(i)} \oplus H_{10}^{(i-1)})$	$W_{13}^{(i)} = (M_2^{(i)} \oplus H_2^{(i-1)}) + (M_4^{(i)} \oplus H_4^{(i-1)}) + (M_7^{(i)} \oplus H_7^{(i-1)}) + (M_{10}^{(i)} \oplus H_{10}^{(i-1)}) + (M_{11}^{(i)} \oplus H_{11}^{(i-1)})$		
$W_{14}^{(i)} = (M_3^{(i)} \oplus H_3^{(i-1)}) - (M_5^{(i)} \oplus H_5^{(i-1)}) + (M_8^{(i)} \oplus H_8^{(i-1)}) - (M_{11}^{(i)} \oplus H_{11}^{(i-1)}) - (M_{12}^{(i)} \oplus H_{12}^{(i-1)})$	$W_{15}^{(i)} = (M_{12}^{(i)} \oplus H_{12}^{(i-1)}) - (M_4^{(i)} \oplus H_4^{(i-1)}) - (M_6^{(i)} \oplus H_6^{(i-1)}) - (M_9^{(i)} \oplus H_9^{(i-1)}) + (M_{13}^{(i)} \oplus H_{13}^{(i-1)})$		
2. Further bijective transform of $W_j^{(i)}, j = 0, \dots, 15$:			
$Q_0^{(i)} = s_0(W_0^{(i)}) + H_1^{(i-1)}$;	$Q_1^{(i)} = s_1(W_1^{(i)}) + H_2^{(i-1)}$;	$Q_2^{(i)} = s_2(W_2^{(i)}) + H_3^{(i-1)}$;	$Q_3^{(i)} = s_3(W_3^{(i)}) + H_4^{(i-1)}$;
$Q_4^{(i)} = s_4(W_4^{(i)}) + H_5^{(i-1)}$;	$Q_5^{(i)} = s_0(W_5^{(i)}) + H_6^{(i-1)}$;	$Q_6^{(i)} = s_1(W_6^{(i)}) + H_7^{(i-1)}$;	$Q_7^{(i)} = s_2(W_7^{(i)}) + H_8^{(i-1)}$;
$Q_8^{(i)} = s_3(W_8^{(i)}) + H_9^{(i-1)}$;	$Q_9^{(i)} = s_4(W_9^{(i)}) + H_{10}^{(i-1)}$;	$Q_{10}^{(i)} = s_0(W_{10}^{(i)}) + H_{11}^{(i-1)}$;	$Q_{11}^{(i)} = s_1(W_{11}^{(i)}) + H_{12}^{(i-1)}$;
$Q_{12}^{(i)} = s_2(W_{12}^{(i)}) + H_{13}^{(i-1)}$;	$Q_{13}^{(i)} = s_3(W_{13}^{(i)}) + H_{14}^{(i-1)}$;	$Q_{14}^{(i)} = s_4(W_{14}^{(i)}) + H_{15}^{(i-1)}$;	$Q_{15}^{(i)} = s_0(W_{15}^{(i)}) + H_0^{(i-1)}$;

شکل (۳): عملکرد تابع f_0 [۶]

$f_1 : \{0, 1\}^{3m} \rightarrow \{0, 1\}^m$
Input: Message block $M^{(i)} = (M_0^{(i)}, M_1^{(i)}, \dots, M_{15}^{(i)})$, the previous double pipe $H^{(i-1)} = (H_0^{(i-1)}, H_1^{(i-1)}, \dots, H_{15}^{(i-1)})$ and the first part of the quadruple pipe $Q_a^{(i)} = (Q_0^{(i)}, Q_1^{(i)}, \dots, Q_{15}^{(i)})$.
Output: Second part of the quadruple pipe $Q_b^{(i)} = (Q_{16}^{(i)}, Q_{17}^{(i)}, \dots, Q_{31}^{(i)})$.
<p>1. Double pipe expansion according to the tunable parameters $ExpandRounds_1$ and $ExpandRounds_2$.</p> <p>1.1 For $ii = 0$ to $ExpandRounds_1 - 1$</p> $Q_{ii+16}^{(i)} = expand_1(ii + 16)$ <p>1.2 For $ii = ExpandRounds_1$ to $ExpandRounds_1 + ExpandRounds_2 - 1$</p> $Q_{ii+16}^{(i)} = expand_2(ii + 16)$

شکل (۴): عملکرد تابع f_1 [۶]

Folding $f_2 : \{0, 1\}^{3m} \rightarrow \{0, 1\}^m$
Input: Message block $M^{(i)} = (M_0^{(i)}, M_1^{(i)}, \dots, M_{15}^{(i)})$, quadruple pipe $Q^{(i)} = (Q_0^{(i)}, Q_1^{(i)}, \dots, Q_{15}^{(i)}, Q_{16}^{(i)}, \dots, Q_{31}^{(i)})$.
Output: New double pipe $H^{(i)} = (H_0^{(i)}, H_1^{(i)}, \dots, H_{15}^{(i)})$.
<p>1. Compute the cumulative temporary variables XL and XH.</p> $XL = Q_{16}^{(i)} \oplus Q_{17}^{(i)} \oplus \dots \oplus Q_{23}^{(i)}$ $XH = XL \oplus Q_{24}^{(i)} \oplus Q_{25}^{(i)} \oplus \dots \oplus Q_{31}^{(i)}$
<p>2. Compute the new double pipe $H^{(i)}$:</p> $H_0^{(i)} = (SHL^5(XH) \oplus SHR^5(Q_{16}^{(i)}) \oplus M_0^{(i)}) + (XL \oplus Q_{24}^{(i)} \oplus Q_0^{(i)})$ $H_1^{(i)} = (SHR^7(XH) \oplus SHL^8(Q_{17}^{(i)}) \oplus M_1^{(i)}) + (XL \oplus Q_{25}^{(i)} \oplus Q_1^{(i)})$ $H_2^{(i)} = (SHR^5(XH) \oplus SHL^5(Q_{18}^{(i)}) \oplus M_2^{(i)}) + (XL \oplus Q_{26}^{(i)} \oplus Q_2^{(i)})$ $H_3^{(i)} = (SHR^1(XH) \oplus SHL^5(Q_{19}^{(i)}) \oplus M_3^{(i)}) + (XL \oplus Q_{27}^{(i)} \oplus Q_3^{(i)})$ $H_4^{(i)} = (SHR^3(XH) \oplus Q_{20}^{(i)} \oplus M_4^{(i)}) + (XL \oplus Q_{28}^{(i)} \oplus Q_4^{(i)})$ $H_5^{(i)} = (SHL^6(XH) \oplus SHR^6(Q_{21}^{(i)}) \oplus M_5^{(i)}) + (XL \oplus Q_{29}^{(i)} \oplus Q_5^{(i)})$ $H_6^{(i)} = (SHR^4(XH) \oplus SHL^6(Q_{22}^{(i)}) \oplus M_6^{(i)}) + (XL \oplus Q_{30}^{(i)} \oplus Q_6^{(i)})$ $H_7^{(i)} = (SHR^{11}(XH) \oplus SHL^2(Q_{23}^{(i)}) \oplus M_7^{(i)}) + (XL \oplus Q_{31}^{(i)} \oplus Q_7^{(i)})$ $H_8^{(i)} = ROTL^9(H_4^{(i)}) + (XH \oplus Q_{24}^{(i)} \oplus M_8^{(i)}) + (SHL^8(XL) \oplus Q_{23}^{(i)} \oplus Q_8^{(i)})$ $H_9^{(i)} = ROTL^{10}(H_5^{(i)}) + (XH \oplus Q_{25}^{(i)} \oplus M_9^{(i)}) + (SHR^6(XL) \oplus Q_{16}^{(i)} \oplus Q_9^{(i)})$ $H_{10}^{(i)} = ROTL^{11}(H_6^{(i)}) + (XH \oplus Q_{26}^{(i)} \oplus M_{10}^{(i)}) + (SHL^6(XL) \oplus Q_{17}^{(i)} \oplus Q_{10}^{(i)})$ $H_{11}^{(i)} = ROTL^{12}(H_7^{(i)}) + (XH \oplus Q_{27}^{(i)} \oplus M_{11}^{(i)}) + (SHL^4(XL) \oplus Q_{18}^{(i)} \oplus Q_{11}^{(i)})$ $H_{12}^{(i)} = ROTL^{13}(H_0^{(i)}) + (XH \oplus Q_{28}^{(i)} \oplus M_{12}^{(i)}) + (SHR^3(XL) \oplus Q_{19}^{(i)} \oplus Q_{12}^{(i)})$ $H_{13}^{(i)} = ROTL^{14}(H_1^{(i)}) + (XH \oplus Q_{29}^{(i)} \oplus M_{13}^{(i)}) + (SHR^4(XL) \oplus Q_{20}^{(i)} \oplus Q_{13}^{(i)})$ $H_{14}^{(i)} = ROTL^{15}(H_2^{(i)}) + (XH \oplus Q_{30}^{(i)} \oplus M_{14}^{(i)}) + (SHR^7(XL) \oplus Q_{21}^{(i)} \oplus Q_{14}^{(i)})$ $H_{15}^{(i)} = ROTL^{16}(H_3^{(i)}) + (XH \oplus Q_{31}^{(i)} \oplus M_{15}^{(i)}) + (SHR^2(XL) \oplus Q_{22}^{(i)} \oplus Q_{15}^{(i)})$

شکل (۵): عملکرد تابع f_2 [۶]

۳۲-گام SIMD به چهار دور تقسیم می‌شوند که هر کدام دارای ۸-گام می‌باشند که هر گام ۳ جمع پیمانه‌ای دارد که دوتای آنها خاصیت مارکوف دارند و ۴-گام اضافی بعدی نیز تابع گام^۱ مشابه با گام های قبلی دارد [۷-۸].

۴- اعمال تحلیل رمز چرخشی بر روی BMW-512

512 و SIMD-512

در این بخش با توجه به تجزیه و تحلیل انجام شده در بخش‌های ۱-۳، ۲-۳ و لم‌های ۱ و ۲ تحلیل رمز چرخشی را بر الگوریتم‌های BMW-512 و SIMD-512 اعمال می‌کنیم و در این مقاله مقدار چرخشی $r = 1$ قرار می‌دهیم و از ثابت‌ها در صورت وجود صرف نظر می‌کنیم و مقدار n را با توجه به الگوریتم‌ها ۳۲-بیت کلمه در نظر می‌گیریم.

۴-۱- تحلیل رمز چرخشی بر BMW-512

بنا به توضیحات بخش ۳-۱، سه تابع f_0 ، f_2 شامل جمع پیمانه‌ای بودند که در f_0 ، ۸۰-جمع پیمانه‌ای داریم که ۱۶ تای آن مارکوف می‌باشد پس برای محاسبه ۱۶ جمع پیمانه‌ای با فرض مارکوف از لم ۲ مقدار احتمال چرخشی برابر با $2^{-56,16}$ می‌باشد و همچنین ۶۴ جمع پیمانه‌ای الگوریتم بنا به لم ۱ داری احتمال چرخشی $2^{-90,56}$ می‌باشد. در تابع f_2 ، ۲۴ جمع پیمانه‌ای داریم که بنا به لم ۱، احتمال چرخشی آن برابر $2^{-33,96}$ می‌باشد. که مجموع آن برابر $2^{-180,68}$ می‌باشد. حال می‌دانیم که الگوریتم BMW-512، ۱۶-دور دارد پس داریم $2^{-2890,88} = 2^{-180,68 \times 16}$ می‌شود که با احتساب یک دور پایانی داریم $2^{-2892,30} = 2^{-2890,88 - 1,415}$.

جدول (۲): خلاصه تحلیل رمز چرخشی BMW-512

الگوریتم رمز	دورها	احتمال تک دور	احتمال کل دورها
Blue MidNight Wish	۱+۱۶ دور پایانی	$2^{-180,68}$	$2^{-2892,30}$

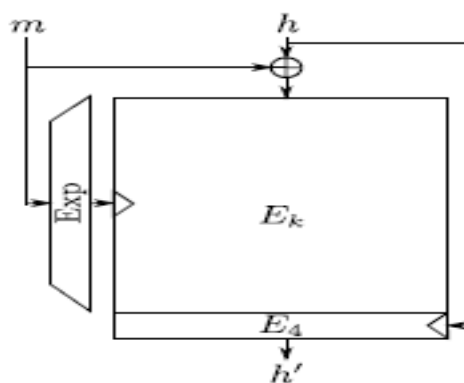
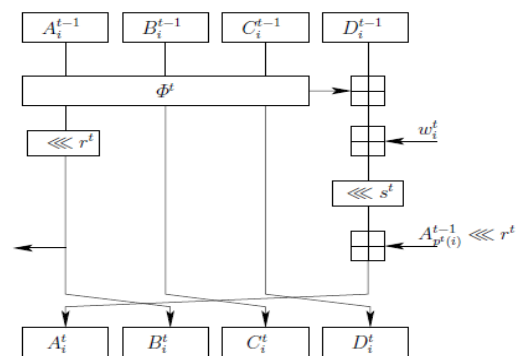
۴-۲- تحلیل رمز چرخشی بر SIMD-512

همان‌طور که در شکل (۷) مشاهده می‌کنیم و بنا به توضیحات بخش ۳-۲ و با استفاده از لم ۲ برای محاسبه احتمال چرخشی برای دو جمع پیمانه‌ای که خاصیت مارکوف دارند و اندازه کلمه ۳۲-بیت و مقدار چرخشی ۱ و بدون در نظر گرفتن ثابت‌ها

۳-۲- الگوریتم SIMD-512

SIMD یک تابع چکیده‌ساز تکراری که از طرح مرکب-دمگارد پیروی می‌کند. جزء اصلی یک تابع چکیده‌ساز، تابع فشرده‌ساز آن است. در مورد SIMD-512 برای محاسبه چکیده پیام M ، در ابتدا آن را به k تکه 1024 -بیتی تقسیم می‌کنیم. با استفاده از گسترش پیام، هر بلوک به 8192 -بیت گسترش می‌یابد. سپس تابع فشرده‌ساز برای فشرده‌سازی تکه‌های پیام و فضای حالت داخلی مورد استفاده قرار می‌گیرد. قانون لایه‌گذاری برای پر کردن آخرین بلوک به‌عنوان مرکب-دمگارد شناخته شده است. مقدار اولیه حالت درونی IV نامیده می‌شود و در مشخصات تابع چکیده‌ساز ثابت شده است. خروجی تابع چکیده‌ساز به‌وسیله محاسبه یک تابع نهایی بر آخرین فضای حالت درونی به‌دست می‌آید.

فضای حالت درونی SIMD شامل ۳۲ تا کلمه ۳۲-بیتی است و دو برابر بزرگتر از خروجی است. SIMD شامل ۴-دور است که هر دور شامل ۸-گام است. همان‌طور که در شکل (۸) می‌بینیم چهار مرحله اضافی با IV به‌عنوان ورودی پیام داریم. قسمت هسته SIMD تابع گام به‌روز رسانی فضای حالت است. شکل (۷) تابع گام را در گام t نشان می‌دهد.



شکل (۶): تابع به‌روز رسانی SIMD در گام t به ازای $i=0, \dots, 7$.

[۷] شکل (۷۰) ساختار SIMD با $k=32$ [۸]

^۱ Step Function

۶- مراجع

- [1] D. Khovratovich and I. Nikolić, "Rotational cryptanalysis of ARX," FSE 2010. LNCS, vol. 6147, p. 333–346, 2010.
- [2] F. Mendel and T. Nad, "A Distinguisher for the Compression Function of SIMD-512," INDOCRYPT., vol. 5922, pp. 219–232, 2010.
- [3] I. Nikolic, J. Pieprzyk, P. law, S. Iowski and R. Steinfeld, "Rotational Cryptanalysis of ((Modified) version of BMW and SIMD," 2011.
- [4] K. Dmitry, I. Nikolic, J. Pieprzyk, P. Sokolowski and R. Steinfeld, "Rotational Cryptanalysis of ARX Revisited," IACR Cryptology ePrint Archive, 2015.
- [5] D. Stinson, "Cryptography Theory and Practice," CRC, 2006.
- [6] T. Peyrin, "Improved Differential Attacks for ECHO and Grøstl," Cryptology ePrint Archive, 2010.
- [7] S. Klaus, "Cryptography and public key infrastructure on the Internet," 2003.
- [8] X. Wang and H. Yu, "Cryptanalysis of the Compression Function of SIMD," ACISP 2011, pp. 157–171, 2011.
- [9] D. Gligoroski, V. Klima, S. J. Knapskog, M. El-Hadedy, J. Amundsen and S. F. Mjølsnes, "Cryptographic Hash Function BLUE MIDNIGHT WISH," Submission, 2010.

احتمال $2^{-1,415}$ را داریم. و برای یک جمع پیمانه‌ای دیگر که خاصیت مارکوف ندارد با استفاده از لم ۱ احتمال $2^{-1,415}$ را داریم که با جمع این دو احتمال، احتمال چرخشی برای این سه جمع پیمانه‌ای برابر با $2^{-2,83}$ می‌باشد که برای ۳۶-گام احتمال برابر با $2^{-101,88} = 2^{-2,83 \cdot 36}$ می‌باشد.

جدول (۳): خلاصه تحلیل رمز چرخشی SIMD-512

الگوریتم رمز	گام‌ها	احتمال یک گام	احتمال کل گام‌ها
SIMD-512	۳-گام	$2^{-2,83}$	$2^{-101,88}$

۴-۳- مقایسه پیچیدگی تحلیل رمز چرخشی در الگوریتم‌های BMW و SIMD با دیگر حملات

در مرجع [۹] بر روی الگوریتم SIMD-512 حملات تصادم نزدیک^۱ و تمایزگز^۲ انجام شده است که در حمله تصادم نزدیک پیچیدگی حمله برابر با 2^{235} و برای حمله تمایزگر پیچیدگی برابر با 2^{475} می‌باشد اما در تحلیل رمز چرخشی پیچیدگی $2^{101,88}$ را داریم. همچنین در مرجع [۸] برای BMW-384 پیچیدگی حمله تمایز چرخشی برابر $2^{354,50}$ می‌باشد در صورتی که در تحلیل رمز چرخشی برای الگوریتم BMW-512 پیچیدگی برابر $2^{180,68}$ می‌باشد.

۵- نتیجه‌گیری

در این مقاله برای اولین بار بر دو کاندیدای دور دوم SHA-3 یعنی الگوریتم‌های BMW-512 و SIMD-512 که ساختاری ARX دارند تحلیل رمز چرخشی را با رویکرد مراجع [۴-۵] و با نظر گرفتن فرض زنجیره مارکوف انجام دادیم و به پیچیدگی کل $2^{2892,30}$ برای BMW-512 و پیچیدگی کل $2^{101,88}$ برای SIMD-512 رسیدیم که علت بیشتر بودن مقاومت الگوریتم BMW-512 در برابر تحلیل رمز چرخشی، بستگی به نوع اتصال و تعداد جمع‌های پیمانه‌ای دارد. این بدین معنی است که طراح برای جلوگیری از حمله چرخشی، می‌تواند جمع‌های پیمانه‌ای را به صورت زنجیره‌ای مطابق فرض مارکوف در الگوریتم قرار دهد.

تابع چکیده ساز	تعداد دور هر الگوریتم	احتمال تک دور	احتمال کل
BMW-512	۱۶	$2^{-180,68}$	$2^{-2892,30}$
SIMD-512	۳۶ گام	$2^{-2,83}$	$2^{-101,88}$

¹ Near collision attack

² Distinguisher attack

Rotational Cryptanalysis on BMW and SIMD

S. A. Tabatabaei Feyz Abad, A. Ghaeini^{*}, B. Keshavarz

Imam Hossein Comprehensive University

Abstract

The hash function is a one-way function that converts a string of zero and one input with arbitrary length to a string of zero and one with a constant length n . The hash function should be fast, simple and one-way and resistant to collision attacks, Preimage and Second –Preimage. One of the most important applications of the hash function is digital signature. By using the hash functions, instead of entire signed message the signer first obtains the hash value of the message and then signs the value. This will increase the security and reduce the amount of computing. Cryptanalysis refers to all actions based on the principles of mathematics and science whose purpose is to eliminate cryptographic security and ultimately to unlock the code and access to the original information. Rotational cryptanalysis is one of the best and most recent attacks on ARX systems. In this paper, for the first time, we apply a rotational cryptanalysis and with Given the assumption of the Markov chain for the modular additions sequence employed in two algorithms SIMD and BMW, which are second-round candidates for the SHA-3 competition that use the ARX property in their structure. That for the BMW algorithm we arrived at the complexity of $2^{(180,68)}$ for one round of 16-rounds and the complexity of $2^{(101,88)}$ for the entire 16-round SIMD, according to the obtained results, it can be seen that due to the large number of modular additions As a Markov chain, the BMW algorithm exhibits greater resistance to the SIMD algorithm and Against the rotational cryptanalysis is has less likely to succeed.

Keywords: Hash function, Rotational Cryptanalysis, Modular Addition, Markov Chaining

^{*} Corresponding author E-mail: a.gaeini20@gmail.com